

# 有限元法

制作人： 舒适 魏华祎 易年余 岳孝强

1

## 有限元方法

- 线性元计算公式
- 算法流程与实现、数值实验
- 误差分析
- 稳定性分析

# 线性有限元空间

对求解区间  $I$  做网格剖分



## 1 网格剖分节点

$$a = x_0 < x_1 < \cdots < x_{n-1} < x_n = b$$

称  $x_i (i = 1, 2, \cdots, n-1)$  为第  $i$  个内部节点,  $x_0$  和  $x_n$  为边界节点;

## 2 网格剖分单元 分别称 $l_i = [x_{i-1}, x_i]$ 和 $h_i = x_i - x_{i-1}$ 为第 $i$ 个剖分单元和剖分步长.

记  $h = \max_{1 \leq i \leq n} h_i$ .

定义

$$V_E^h = \{u_h \in C(\bar{I}) : u_h|_{I_i} \in P_1(I_i), 1 \leq i \leq n, u_h(a) = 0\}$$

$P_1(I_i)$ :  $I_i$  上线性代数多项式的全体.

称  $V_E^h$  为 1 次 Lagrange 型有限元空间 (简称线性元空间).



线性元空间  $V_E^h$  的维数

$$m := \dim V_E^h = 2n - (n - 1) - 1 = n$$

$V_E^h$  中的函数在  $I_i = [x_{i-1}, x_i]$  上形如:  $a_i + b_i x$ .

记  $u_i = u_h(x_i)$ ,  $i = 0, 1, \dots, n$ , 对任给的  $u_h \in V_E^h$ , 分别按两种形式给出其表示式.

### (a) 分段线性表示 (单元形状函数)

单元形状函数  $u_h^k(x)$ : 为  $u_h(x)$  在  $I_k = [x_{k-1}, x_k]$  上的限制函数.  
由 Lagrange 插值公式

$$u_h^k(x) = u_{k-1} l_{k,0}(x) + u_k l_{k,1}(x), \quad x \in I_k$$

其中

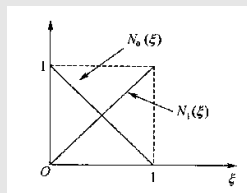
$$l_{k,0}(x) = \frac{x - x_k}{x_{k-1} - x_k}, \quad l_{k,1}(x) = \frac{x - x_{k-1}}{x_k - x_{k-1}}$$

为关于插值点  $x_{k-1}$  和  $x_k$  的 1 次 Lagrange 因子.

单元形状函数的另一种表示公式

在参考 (或标准) 单元  $[0, 1]$  上求得所谓的标准插值基函数:

$$N_0(\xi) = 1 - \xi, \quad N_1(\xi) = \xi$$



引入仿射变换:

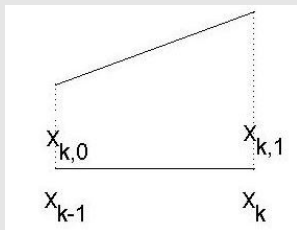
$$\xi = F_k(x) := \frac{x - x_{k-1}}{h_k} : I_k \rightarrow [0, 1] \quad (1)$$

逆变换

$$x = X(\xi) := x_{k-1}N_0(\xi) + x_kN_1(\xi), \quad [0, 1] \rightarrow I_k \quad (2)$$

## 单元形状函数

$$u_h^k(x) = u_{k-1}N_0(\xi) + u_kN_1(\xi), \quad x \in I_k \quad (3)$$



$u_h(x)$  可分段线性表示为

$$u_h(x) = \begin{cases} u_h^1(x), x \in I_1 \\ u_h^2(x), x \in I_2 \\ \vdots \\ u_h^n(x), x \in I_n \end{cases}$$



## (b) 整体表示

关键: 给出线性元空间  $V_E^h$  的一组基函数.

在每个非本质边界插值点  $x_i$  处, 引入函数

$$\phi_i(x) \in V_E^h, \quad i = 1, \dots, n$$

满足插值条件

$$\phi_i(x_j) = \delta_{i,j}, \quad j = 1, \dots, n \quad (4)$$

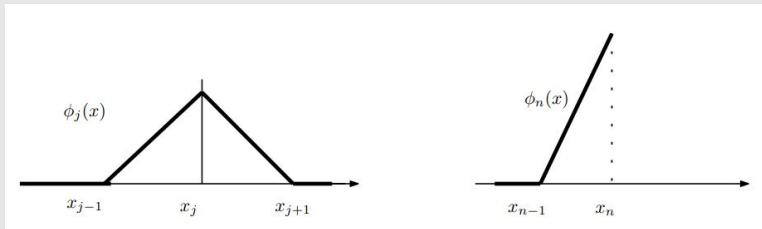
经简单计算, 可得

$$\left\{ \begin{array}{l} \phi_i(x) = \begin{cases} 1 + \frac{x-x_i}{h_i}, & x_{i-1} \leq x < x_i, \\ 1 - \frac{x-x_i}{h_{i+1}}, & x_i \leq x \leq x_{i+1}, \\ 0, & \text{在别处,} \end{cases} \\ \quad \quad \quad i = 1, 2, \dots, n-1 \\ \phi_n(x) = \begin{cases} 1 + \frac{x-x_n}{h_n}, & x_{n-1} \leq x \leq x_n, \\ 0, & \text{在别处.} \end{cases} \end{array} \right. \quad (5)$$

借助于仿射变换 (1) 及  $[0, 1]$  上的标准插值基函数, 则 (5) 也可表示为

$$\left\{ \begin{array}{l} \phi_i(x) = \begin{cases} N_1(\xi), & \xi = \frac{x-x_{i-1}}{h_i}, & x_{i-1} \leq x < x_i, \\ N_0(\xi), & \xi = \frac{x-x_i}{h_{i+1}}, & x_i \leq x \leq x_{i+1}, \\ 0, & \text{在别处,} \end{cases} \\ \quad \quad \quad i = 1, 2, \dots, n-1 \\ \phi_n(x) = \begin{cases} N_1(\xi), & \xi = \frac{x-x_{n-1}}{h_n}, & x_{n-1} \leq x \leq x_n, \\ 0, & \text{在别处,} \end{cases} \end{array} \right. \quad (6)$$

其几何形状如下图所示



易知  $\{\phi_i(x), i = 1, 2, \dots, n\}$  是一组线性无关的函数系, 即构成了线性元空间  $V_E^h$  中一组基, 称之为线性元空间  $V_E^h$  的 Lagrange 节点基函数.

事实上, 若

$$u_n(x) = \sum_{i=1}^n c_i \phi_i(x) \equiv 0$$

特别地, 取  $x = x_i$  代入上式, 可得  $c_i = 0$ , 这样就证得了  $\{\phi_i\}_{i=1}^n$  是一组线性无关的函数系。□

利用 (4), 易验证

$$u_h(x) = \sum_{i=1}^n u_i \phi_i(x). \quad (7)$$

至此, 解决了  $H_E^1(I)$  的有限维子空间 (线性元空间) 的构造问题. 下面利用 **Galerkin 方法** 求解问题 (A).

## 基于 Galerkin 方法的线性有限元方程

### 1) 等价变分问题

基于虚功原理的等价变分问题 (问题 (B)): 求  $u \in H_E^1(I)$ , 使

$$a(u, v) = (f, v), \forall v \in H_E^1(I) \quad (8)$$

其中

$$\begin{cases} a(u, v) = \int_a^b \left[ p \frac{du}{dx} \cdot \frac{dv}{dx} + quv \right] dx \\ (f, v) = \int_a^b f v dx \end{cases} \quad (9)$$

下面给出基于  $H_E^1(I)$  的子空间  $V_E^h$  (线性元空间) 的 Galerkin 数值解计算公式.

## 2) 近似变分问题

问题 (B) 的近似变分问题: 求  $u_h(x) \in V_E^h$ , 使得

$$a(u_h, v_h) = (f, v_h), \forall v_h \in V_E^h \quad (10)$$

## 3) 线性有限元方程

将  $u_h(x) = \sum_{i=1}^n u_i \phi_i(x)$  代入 (10), 并将  $v_h$  取为基函数  $\phi_j$ , 则有

$$a\left(\sum_{i=1}^n u_i \phi_i, \phi_j\right) = (f, \phi_j), \quad j = 1, 2, \dots, n$$

 $\Leftrightarrow$ 

$$\sum_{i=1}^n a(\phi_i, \phi_j) u_i = (f, \phi_j), \quad j = 1, 2, \dots, n \quad (11)$$

$\Leftrightarrow$  ( 注意: 当  $|j - i| \geq 2$  时,  $\phi_i \cdot \phi_j = 0$ )

- ① 当  $2 \leq j \leq n-1$  时, 方程 (11) 的左端只有三个非零系数:  $a(\phi_j, \phi_j)$  和  $a(\phi_{j\pm 1}, \phi_j)$ .
- ② 当  $j=1$  时, 方程 (11) 的左端只有两个非零系数:  $a(\phi_1, \phi_1)$  和  $a(\phi_2, \phi_1)$ .
- ③ 当  $j=n$  时, 方程 (11) 的左端只有两个非零系数:  $a(\phi_n, \phi_n)$  和  $a(\phi_{n-1}, \phi_n)$ .

基于线性元子空间的 Galerkin 数值解满足的计算公式:

$$KU = b \quad (12)$$

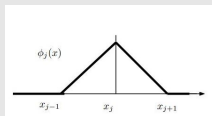
其中  $n$  阶方阵  $K = (a_{i,j})$  和  $n$  维向量  $b = (b_1, \dots, b_n)^T$  分别为



$$K = \begin{bmatrix} a(\phi_1, \phi_1) & a(\phi_1, \phi_2) & & & \\ a(\phi_2, \phi_1) & a(\phi_2, \phi_2) & & & \\ & \ddots & \ddots & \ddots & \\ & & a(\phi_{n-1}, \phi_{n-2}) & a(\phi_{n-1}, \phi_{n-1}) & a(\phi_{n-1}, \phi_n) \\ & & & a(\phi_n, \phi_{n-1}) & a(\phi_n, \phi_n) \end{bmatrix}$$
$$b = \begin{bmatrix} (f, \phi_1) \\ \vdots \\ (f, \phi_n) \end{bmatrix}$$

利用一般的 Galerkin 理论可知 (12) 的解存在且唯一.

利用 (6) 和 (9)



$$a(u, v) = \int_a^b \left[ p \frac{du}{dx} \cdot \frac{dv}{dx} + quv \right] dx$$

$$\begin{aligned}a_{jj} &= \int_{x_{j-1}}^{x_j} [p(\phi_j')^2 + q(\phi_j)^2] dx + \int_{x_j}^{x_{j+1}} [p(\phi_j')^2 + q(\phi_j)^2] dx \\&= \int_{x_{j-1}}^{x_j} [p(\frac{dN_1(\xi)}{dx})^2 + q(N_1(\xi))^2] dx \quad (\text{这里 } \xi = \frac{x-x_{j-1}}{h_j}) \\&\quad + \int_{x_j}^{x_{j+1}} [p(\frac{dN_0(\xi)}{dx})^2 + q(N_0(\xi))^2] dx \quad (\text{这里 } \xi = \frac{x-x_j}{h_{j+1}}) \\&= a(N_1, N_1)_{I_j} + a(N_0, N_0)_{I_{j+1}}\end{aligned}\tag{13}$$

类似可得 (习题):

- ① 矩阵非对角元素  $a_{j,j-1} := a(\phi_{j-1}, \phi_j)$  ( $j = 2, \dots, n$ ) 的表示式为

$$a_{j,j-1} = \int_{x_{j-1}}^{x_j} [p(\phi'_{j-1}\phi'_j) + q(\phi_{j-1}\phi_j)] dx = a(N_0, N_1)_{l_j} \quad (14)$$

- ② 由对称性知: 矩阵非对角元素  $a_{j,j+1} := a(\phi_{j+1}, \phi_j)$  ( $j = 1, \dots, n-1$ ) 的表示式为

$$a_{j,j+1} = a(N_1, N_0)_{l_{j+1}} \quad (15)$$

方程的右端项 ( $j = 1, \dots, n-1$ )

$$\begin{aligned} b_j &:= \int_a^b f \phi_j dx = \int_{x_{j-1}}^{x_j} f(x) \phi_j(x) dx + \int_{x_j}^{x_{j+1}} f(x) \phi_j(x) dx \\ &= \int_{x_{j-1}}^{x_j} f(x) N_1(\xi) dx \quad (\text{这里 } \xi = \frac{x-x_{j-1}}{h_j}) \\ &\quad + \int_{x_j}^{x_{j+1}} f(x) N_0(\xi) dx \quad (\text{这里 } \xi = \frac{x-x_j}{h_{j+1}}) \\ &= (f, N_1)_{I_j} + (f, N_0)_{I_{j+1}} \end{aligned} \quad (16)$$

$$b_n = (f, N_1)_{I_n} = h_n \int_0^1 f(x_{n-1} + h_n \xi) N_1(\xi) d\xi$$

习题 1 (P.231. 1. (第四版)) 仅要求

- (1) 网格剖分: 作 2 或 3 段的等距剖分;
- (2) 利用中矩形公式计算积分 (16)。

习题 2\* 导出非齐次两点边值问题

$$\begin{cases} Lu = -\frac{d}{dx}\left(p\frac{du}{dx}\right) + qu = f, & a < x < b \\ u(a) = \gamma, & u'(b) + \alpha u(b) = \beta \end{cases}$$

的线性元方程, 其中

- (1) 正的光滑函数  $p(x)$ , 非负连续函数  $q(x)$  可自己定义, 如取

$$p(x) = x - a + 1, q(x) = 0$$

- (2)  $\gamma, \alpha \geq 0, \beta$  也可自己定义, 如取  $\gamma = 2, \alpha = 1, \beta = 1$ .

$$\begin{aligned}a(u_h, v_h)_{I_k} &= a(u_{k-1}N_0 + u_kN_1, v_{k-1}N_0 + v_kN_1)_{I_k} \\&= a(N_0, N_0)_{I_k}u_{k-1}v_{k-1} + a(N_1, N_0)_{I_k}u_kv_{k-1} \\&\quad + a(N_0, N_1)_{I_k}u_{k-1}v_k + a(N_1, N_1)_{I_k}u_kv_k \\&= (v_{k-1}, v_k)K^{I_k} \begin{pmatrix} u_{k-1} \\ u_k \end{pmatrix}\end{aligned}$$

其中

$$K^{I_k} := \begin{bmatrix} a_{11}^{I_k} & a_{12}^{I_k} \\ a_{21}^{I_k} & a_{22}^{I_k} \end{bmatrix} = \begin{bmatrix} a(N_0, N_0)_{I_k} & a(N_1, N_0)_{I_k} \\ a(N_0, N_1)_{I_k} & a(N_1, N_1)_{I_k} \end{bmatrix} \quad (17)$$

称为单元刚度矩阵.

$$\begin{aligned}(f, v_h)_{I_k} &= (f, v_{k-1} N_0 + v_k N_1) \\&= (f, N_0)_{I_k} v_{k-1} + (f, N_1)_{I_k} v_k \\&= (v_{k-1}, v_k) b^{I_k}\end{aligned}$$

其中

$$b^{I_k} = \begin{pmatrix} b_1^{I_k} \\ b_2^{I_k} \end{pmatrix} = \begin{pmatrix} (f, N_0)_{I_k} \\ (f, N_1)_{I_k} \end{pmatrix} \quad (18)$$

称为单元荷载向量.



由 (13), (14), (15) 和 (17) 可知: 总刚度矩阵的元素与单元刚度矩阵的元素有如下关系:

- ① 矩阵对角元  $a_{jj} = a_{22}^{l_j} + a_{11}^{l_{j+1}}, \quad \forall j = 1, 2, 3, \dots, n-1;$
- ② 矩阵非对角元  $a_{j,j-1} = a_{21}^{l_j}, \quad \forall j = 2, 3, \dots, n;$
- ③ 矩阵非对角元  $a_{j,j+1} = a_{12}^{l_{j+1}}, \quad \forall j = 1, 2, \dots, n-1;$
- ④ 矩阵对角元  $a_{n,n} = a_{22}^{l_n}.$

## 单元刚度矩阵对总刚度矩阵的叠加方式

当  $j = 1$  时,

$$\begin{bmatrix} * & * \\ * & a_{22}^{I_1} \end{bmatrix} \rightarrow \begin{bmatrix} a_{11} & \cdots & \cdots \\ \vdots & \ddots & \\ \vdots & & \ddots \end{bmatrix}$$

当  $j = 2, \dots, n$  时,

$$\begin{bmatrix} a_{11}^{I_j} & a_{12}^{I_j} \\ a_{21}^{I_j} & a_{22}^{I_j} \end{bmatrix} \rightarrow \begin{bmatrix} \vdots & \vdots \\ \cdots & a_{j-1,j-1} & a_{j-1,j} & \cdots \\ \cdots & a_{j,j-1} & a_{j,j} & \cdots \\ \vdots & \vdots \end{bmatrix}$$

## 单元载荷向量对总载荷向量的叠加方式

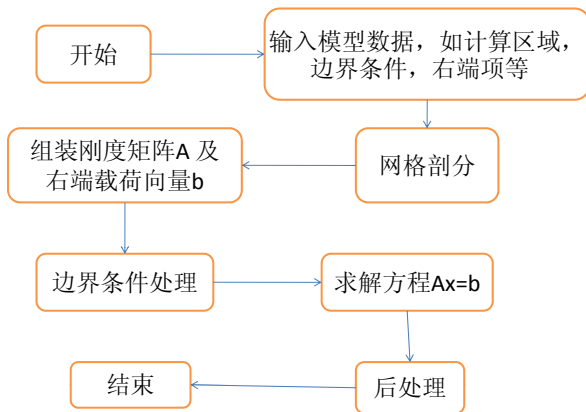
当  $j = 1$  时,

$$\begin{pmatrix} * \\ b_2^{l_1} \end{pmatrix} \rightarrow \begin{bmatrix} b_1 \\ \vdots \end{bmatrix}$$

当  $j = 2, \dots, n$  时,

$$\begin{pmatrix} b_1^{l_j} \\ b_2^{l_j} \end{pmatrix} \rightarrow \begin{bmatrix} \vdots \\ b_{j-1} \\ b_j \\ \vdots \end{bmatrix}$$

# 算法流程



# 代码实现 I

```
%% 准备初始数据

% 区间  $[a, b]$ 
a = 0;
b = 1;

% 网格剖分尺寸
h = 0.1;

% 微分方程模型数据。函数 sindata 返回一个结构体 pde
% pde.f : 右端项函数
% pde.exactu : 真解函数
% pde.Du : 真解导数
% pde.g_D: D 氏边界条件函数
pde = sindata();

% 设定积分精度 Gauss
option.fQuadOrder = 3;
option.errQuadOrder = 3;
```

# 代码实现 II

```
%% 网格剖分
[node,elem,bdFlag] = intervalmesh(a,b,h);

%% 组装刚度矩阵及右端向量、边界条件处理、求解Ab
uh = Poisson1d(node, elem, pde, bdFlag,option);

%% 计算  $L2$  和  $H1$  误差、结果可视化
errL2 = getL2error1d(node,elem,pde.exactu,uh,option.errQuadOrder);
errH1 = getH1error1d(node,elem,pde.Du,uh,option.errQuadOrder);
showsolution1d(node,elem,uh,'-+k');
```

# 模型数据 I

```
function pde = sindata( )
%% SINDATA
%
%   u = sin(pi*x)
%   f = pi*pi*sin(pi*x)
%   Du = pi*cos(pi*x)
%

pde = struct('f',@f,'exactu',@exactu,'g_D',@g_D,'Du',@Du);

% right hand side function
function z = f(p)
    x = p;
    z = pi*pi*sin(pi*x);
end

% exact solution
function z = exactu(p)
    x = p;
    z = sin(pi*x);
end
```

# 模型数据 II

```
% Dirichlet boundary condition
function z = g_D(p)
    x = p;
    z = exactu(p);
end

% Derivative of the exact solution
function z = Du(p)
    x = p;
    z = pi*cos(pi*x);
end

end
```



# 网格剖分 I

```
function [node,elem,bdFlag] = intervalmesh(a,b,h)
%% INTERVALMESH the uniform mesh on interval [a,b] with size h.
%
% node(1:N,1): node(i) is the coordinate of i-th
% mesh point.
%
% elem(1:NT,1:2): elem(j,1:2) are the indexes of the two end
% vertices of j-th elements.
%
node = a:h:b;
node = node';
N = length(node);
elem = [1:N-1;2:N];
elem = elem';
bdFlag = false(N,1);
bdFlag([1,N]) = true;
```

# 网格剖分 I

```
function [node,elem,bdFlag] = intervalmesh(a,b,h)
%% INTERVALMESH the uniform mesh on interval [a,b] with size h.
%
% node(1:N,1): node(i) is the coordinate of i-th
% mesh point.
%
% elem(1:NT,1:2): elem(j,1:2) are the indexes of the two end
% vertices of j-th elements.
%
node = a:h:b;
node = node';
N = length(node);
elem = [1:N-1;2:N];
elem = elem';
bdFlag = false(N,1);
bdFlag([1,N]) = true;
```

# sparse函数介绍 I

`sparse` 是 Matlab 中生成稀疏矩阵(只存储非零元素的矩阵)的函数, 下面给出三种基本用法:

`A = sparse(N,N)`: 生成一个规模  $N \times N$  的稀疏矩阵, 所有元素为0

`A = sparse(B)`: 把  $B$  转化为相同规模的稀疏矩阵  $A$

`A = sparse(rows,cols,vals,N,N)`: 通过三元数组组装稀疏矩阵  $A$

# sparse函数介绍 II

```
>> B
```

```
B =
```

1	0	0
0	0	2
3	0	0

```
>> [rows,cols,vals] = find(B)
```

rows =	cols =	vals =
1	1	1
3	1	3
2	3	2

# sparse函数介绍 III

```
>> A = sparse(rows,cols,vals,3,3)
```

```
A =
```

(1,1)	1
(3,1)	3
(2,3)	2

# accumarray函数介绍 I

accumarray 是 Matlab 中生成满矩阵的函数，基本用法如下：

$A = \text{accumarray}(\text{subs}, \text{vals}, [N, 1])$ : 生成一个长度为  $N$  的列向量，其中  $\text{subs}$  和  $\text{vals}$  是相同长度的向量。

```
>> [subs, vals]
```

```
ans =
```

```
1      2.5000
```

```
2      1.3000
```

```
1      2.5000
```

```
4      4.1000
```

```
5      5.1000
```

# accumarray函数介绍 II

```
>> b = accumarray(subs,vals,[4,1])
```

```
b =
```

```
5.0000
```

```
1.3000
```

```
3
```

```
4.1000
```

```
5.1000
```

# 组装刚度矩阵、右端项及求解 I

```
function uh = Poisson1d(node, elem, pde, bdFlag, option)
%% POISSON1D solve 1d Poisson equation by P1 linear element.
%
% uh = Poisson1d(node, elem, pde, bdFlag) produces linear
% finite element approximation of 1d Poisson equation.

N = size(node,1); NT = size(elem,1); Ndof = N;
%% Compute geometric quantities and gradient of local basis
lens = node(elem(:,2))-node(elem(:,1));
Dphi = [-1./lens, 1./lens];

%% Assemble stiffness matrix
A = sparse(Ndof, Ndof);
for i = 1:2
    for j = i:2
        Aij = Dphi(:,i).*Dphi(:,j).*lens;
        if (j==i)
            A = A + sparse(elem(:,i), elem(:,j), Aij, Ndof, Ndof);
        else
```



# 组装刚度矩阵、右端项及求解 II

```

        A = A + sparse([elem(:,i);elem(:,j)],[elem(:,j);elem
(:,i)],...
        [Aij; Aij],Ndof,Ndof);
    end
end
end

%% Assemble the right hand side
[lambda,weight] = quadpts1d(option.fQuadOrder);
nQuad = length(weight);
phi = lambda;
bt = zeros(Nt,2);
for i = 1:nQuad
    px = node(elem(:,1))*phi(i,1) + node(elem(:,2))*phi(i,2);
    fp = pde.f(px);
    for k = 1:2
        bt(:,k) = bt(:,k) + weight(i)*fp.*phi(i,k);
    end
end
bt = bt.*repmat(lens,1,2);
b = accumarray(elem(:),bt(:),[Ndof 1]);

```

# 组装刚度矩阵、右端项及求解 III

```
clear bt px;

%% modify left-hand vector
isFixed = bdFlag;
isFree = ~isFixed;
uh = zeros(Ndof,1);
uh(isFixed) = pde.g_D(node(isFixed));
b = b - A*uh;

%% solve
uh(isFree) = A(isFree,isFree)\b(isFree);
```

# 计算误差 I

```
function err = getL2error1d(node,elem, exactu, uh, quadOrder)
%% GETL2ERROR1D L2 norm of approximation of linear fintie
%% element
%
% compute L2 error element-wise using quadrature rule with order
% quadOrder

NT = size(elem,1);
err = zeros(NT,1);
[lambda,weight] = quadpts1d(quadOrder);

% basis function at quadrature points
phi = lambda;

nQuad = length(weight);
for i = 1:nQuad
    uhp = uh(elem(:,1))*phi(i,1) + uh(elem(:,2))*phi(i,2);
    px = node(elem(:,1))*phi(i,1) + node(elem(:,2))*phi(i,2);
    err = err + weight(i)*(exactu(px) - uhp).^2;
end
```

# 计算误差 II

```
lens = node(elem(:,2)) - node(elem(:,1));  
err = err.*lens;  
err = sqrt(sum(err));  
  
function err = getH1error1d(node,elem,Du,uh,quadOrder)  
%% GETH1ERROR1D H1 norm of approximation error of linear finite  
%% element  
%  
% compute H1 error element-wise using quadrature rule  
% with order quadOrder  
  
NT = size(elem,1);  
err = zeros(NT,1);  
[lambda,weight] = quadpts1d(quadOrder);  
phi = lambda;  
lens = node(elem(:,2))-node(elem(:,1));  
Dphi = [-1./lens,1./lens];  
  
nQuad = length(weight);  
Duh = uh(elem(:,1)).*Dphi(:,1) + uh(elem(:,2)).*Dphi(:,2);
```

# 计算误差 III

```
for i = 1:nQuad
    px = node(elem(:,1))*phi(i,1) + node(elem(:,2))*phi(i,2);
    err = err + weight(i)*(Du(px)-Duh).^2;
end

err = err.*lens;
err = sqrt(sum(err));
```

算例 1: 我们利用有限元法去求解

$$\begin{aligned} -u''(x) &= 16\pi^2 \sin(4\pi x), \\ u(0) &= 0, \quad u(1) = 0. \end{aligned}$$

问题的真解为

$$u(x) = \sin(4\pi x)$$

```
function pde = sin4pdata( )  
%% SINDATA  
%  
%   u = sin(4*pi*x)  
%   f = 16*pi*pi*sin(4*pi*x)  
%   Du = 4*pi*cos(4*pi*x)  
%  
  
pde = struct('f',@f,'exactu',@exactu,'g_D',@g_D,'Du',@Du);  
  
% right hand side function
```

```
function z = f(p)
    x = p;
    z = 16*pi*pi*sin(4*pi*x);
end
% exact solution
function z = exactu(p)
    x = p;
    z = sin(4*pi*x);
end
% Dirichlet boundary condition
function z = g_D(p)
    x = p;
    z = exactu(p);
end
% Derivative of the exact solution
function z = Du(p)
    x = p;
    z = 4*pi*cos(4*pi*x);
end

end
```

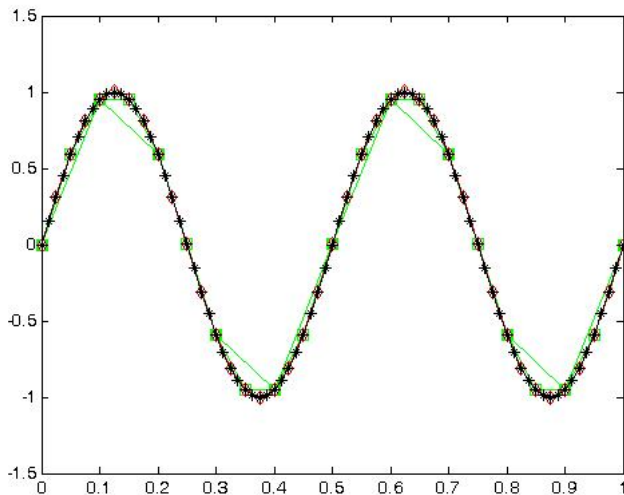
```
function [N,errL2,errH1] = femtest1d()  
%% the initial data  
h = 0.1;  
a = 0;  
b = 1;  
pde = sin4pdata();  
option.fQuadOrder = 3;  
option.errQuadOrder = 3;  
  
maxIt = 5;  
errL2 = zeros(maxIt,1);  
errH1 = zeros(maxIt,1);  
N = zeros(maxIt,1);  
  
for i = 1:maxIt  
    [node,elem, bdFlag] = intervalmesh(a,b,h/2^(i-1));  
    uh = Poisson1d(node,elem,pde,bdFlag,option);  
    N(i) = size(elem,1);  
  
    name = ['solution' int2str(N(i))];  
    save(name,'node','elem','uh');  
    errL2(i) = getL2error1d(node,elem,pde.exactu,uh,option.  
    errQuadOrder);
```



```
errH1(i) = getH1error1d(node,elem,pde.Du,u,option.  
errQuadOrder);
```

```
end
```

# 有限元解



# 误差

可得如下结果

N	10	20	40	80	160
$\ u - u_h\ _0$	8.8574e-2	2.2976e-2	5.7977e-3	1.4528e-3	3.6341e-4
误差比	-	3.8551	3.9630	3.9907	3.9977
$ u - u_h _1$	3.1532	1.6029	8.0475e-1	4.0279e-1	2.0145e-1
误差比	-	1.9672	1.9918	1.9979	1.9995

Table: 其中N是单元个数。

设 $h$ 为单元尺寸, 由以上数据结果可知:

$$\begin{aligned}\|u - u_h\|_0 &\approx O(h^2) = O(N^{-2}) \\ |u - u_h|_1 &\approx O(h^1) = O(N^{-1})\end{aligned}$$

# 数据分析

给定单元个数向量  $N$  和 误差向量  $err$ , 我们可以利用 Matlab 中的:

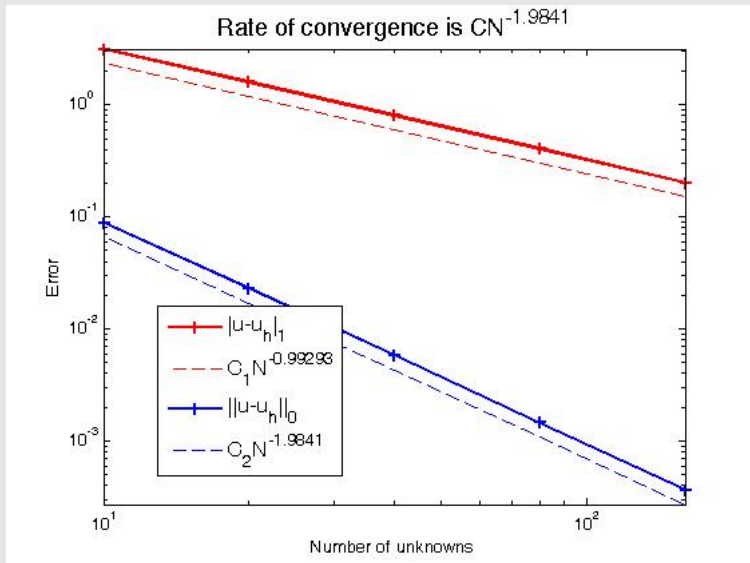
**polyfit**: 多项式拟合函数。例子:

```
p = polyfit(log(N),log(err),1)
```

**loglog** : X和Y轴都取log的画图函数。

```
loglog(N,err,'-*')
```

对上述计算结果进行数据分析和可视化。



## 线性元误差估计

给定两点边值问题 (A)

$$\begin{cases} Lu = -\frac{d}{dx}\left(p\frac{du}{dx}\right) + qu = f, & a < x < b \\ u(a) = 0, u'(b) = 0 \end{cases} \quad (19)$$

设  $u_h$  是  $u$  的线性元解函数, 下面分别在两种不同的范数下,

$$\|\cdot\|_1 \text{ 和 } \|\cdot\|_0$$

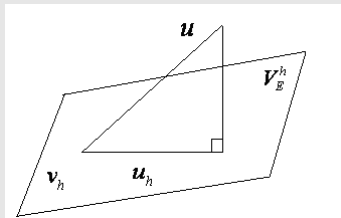
给出有限元函数的误差估计.

# 线性元误差估计

- $H_1$  范数 ( $\|\cdot\|_1$ ) 下的误差估计

由 Ritz-Galerkin 理论, 有

$$a(u - u_h, v_h) = 0, \quad \forall v_h \in V_E^h \quad (20)$$



## 拟最佳逼近性质

$$\|u - u_h\|_1 \leq \beta \inf_{\forall v_h \in V_E^h} \|u - v_h\|_1 \quad (21)$$

称  $u_I(x) \in V_E^h$  为  $u(x) \in H_E^1 \cap C(\bar{I})$  的**分段线性插值函数**, 如果它满足

$$u_I(x_i) = u(x_i), \quad i = 1, \dots, n \quad (22)$$

当  $x \in I_k, k = 1, \dots, n$  时, 有

$$\begin{aligned} u_I(x) &= u_I(x_{k-1})N_0(\xi) + u_I(x_k)N_1(\xi) \\ &= u(x_{k-1})N_0(\xi) + u(x_k)N_1(\xi) \\ x &= x_{k-1}N_0(\xi) + x_kN_1(\xi) \end{aligned}$$



利用 (21), 有

$$\|u - u_h\|_1 \leq \beta \|u - u_I\|_1 \quad (23)$$

设  $u \in C^2(\bar{I})$ , 下面给出  $\|u - u_I\|_1$  的估计.

首先给出  $\|u - u_I\|_0^2$  的估计. 对  $\forall x \in I_i$ , 有

$$u(x) - u_I(x) = \frac{(x - x_{i-1})(x - x_i)}{2} u''(\xi_i), \quad \xi_i \in (x_{i-1}, x_i)$$

$\Rightarrow$

$$|u(x) - u_I(x)| \leq \frac{h_i^2}{2} \max_{x \in I_i} |u''(x)| \leq \frac{h^2}{2} \max_{x \in \bar{I}} |u''(x)| := \frac{h^2}{2} \|u''\|_{\infty, \bar{I}}$$

$\Rightarrow$ 

$$\|u - u_I\|_0^2 \leq \frac{b-a}{4} h^4 \|u''\|_{\infty, \bar{I}}^2 \quad (24)$$

接着给出  $\|u' - u'_I\|_0^2$  的估计. 易知:  $\exists \eta_i \in (x_{i-1}, x_i)$ , 使得

$$u'_I(\eta_i) = u'(\eta_i). \quad (25)$$

 $\Rightarrow$ 

$$u'(x) = u'(\eta_i) + (x - \eta_i)u''(\gamma_i) = u'_I(x) + (x - \eta_i)u''(\gamma_i), \quad \gamma_i \in I_i$$

 $\Rightarrow$ 

$$|u'(x) - u'_I(x)| \leq h|u''(\gamma_i)| \leq h\|u''\|_{\infty, \bar{I}}$$

$\Rightarrow$ 

$$\|u' - u'_I\|_0^2 \leq (b-a)h^2 \|u''\|_{\infty, \bar{I}}^2$$

由上式和 (24) 可得

$$\|u - u_I\|_1 \leq Ch \|u''\|_{\infty, \bar{I}} = O(h \|u''\|_{\infty, \bar{I}})$$

结合上式和 (23) 可得

$$\|u - u_h\|_1 \leq O(h \|u''\|_{\infty, \bar{I}})$$

进而得到了线性元的收敛性.

下面在一种更弱的光滑性假设条件下给出  $\|u - u_I\|_1$  的估计式.

设  $u \in H^2(I) \cap H_E^1(I)$ , 则分段线性插值函数  $u_I(x)$  满足

$$\|u - u_I\|_1 \leq Ch\|u''\|_0 = O(h\|u''\|_0). \quad (26)$$

进而有

$$\|u - u_h\|_1 \leq O(h\|u''\|_0).$$

(26) 的证明可由以下几步构成.

**S1.** 利用带积分余项的 Taylor 展开式知: 对  $\forall x \in I_i := [x_{i-1}, x_i]$ , 有

$$u(x_I) = u(x) + u'(x)(x_I - x) + R_I(x), \quad I = i-1, i \quad (27)$$

其中

$$R_I(x) = \int_x^{x_I} u''(t)(x_I - t)dt.$$

## S2. 证明

$$\|u_I - u\|_0 \leq ch^2 \|u''\|_0. \quad (28)$$

事实上, 将 (27) 代入

$$u_I(x) = u(x_{i-1})N_0(\xi) + u(x_i)N_1(\xi)$$

可得

$$u_I(x) = u(x) + R_{i-1}(x)N_0(\xi) + R_i(x)N_1(\xi)$$

$\Rightarrow$

$$|u_I(x) - u(x)| \leq |R_{i-1}(x)| + |R_i(x)|$$

注意

$$|R_i(x)| \leq h_i \int_x^{x_i} |u''(t)| dt \leq (h_i)^{3/2} \|u''\|_{0,I_i}$$

$\Rightarrow$ 

$$|u_I(x) - u(x)| \leq ch_i^{3/2} \|u''\|_{0,I_i}$$

 $\Rightarrow$ 

$$\|u_I - u\|_{0,I_i}^2 = \int_{x_{i-1}}^{x_i} (u_I - u)^2 dt \leq ch_i^4 \|u''\|_{0,I_i}^2$$

 $\Rightarrow$ 

$$\|u_I - u\|_0^2 \leq ch^4 \sum_{i=1}^n \|u''\|_{0,I_i}^2 = ch^4 \|u''\|_0^2$$

即 (28) 成立. ■

## S3. 证明

$$\|u'_I - u'\|_0 \leq ch \|u''\|_0. \quad (29)$$

事实上, 将 (27) 代入

$$u'_I(x) = u(x_{i-1})N'_0(\xi) + u(x_i)N'_1(\xi)$$

有

$$u'_I(x) = u'(x) + R_{i-1}(x)N'_0(\xi) + R_i(x)N'_1(\xi)$$

注意

$$|N'_l(\xi)| = h_i^{-1}, l = 0, 1$$

$\Rightarrow$

$$|u'_I(x) - u'(x)| \leq ch_i^{1/2} \|u''\|_{0,I_i}$$

$\Rightarrow$ 

$$\|u'_I - u'\|_{0,I_i}^2 \leq ch^2 \|u''\|_{0,I_i}^2$$

 $\Rightarrow$ 

$$\|u'_I - u'\|_0^2 \leq ch^2 \sum_{i=1}^n \|u''\|_{0,I_i}^2 = ch^2 \|u''\|_0^2$$

即 (29) 成立. ■

结合 (28) 和 (29) 即完成了 (26) 的证明. ■



## 2. $L^2$ 范数 ( $\|\cdot\|_0$ ) 下的误差估计

首先给出微分方程先验估计理论.

**引理 1** 设问题 (19) 中的  $f, q \in C(\bar{I})$ ,  $p \in C^1(\bar{I})$ ,  $p \geq p_{\min} > 0$ ,  $q \geq 0$ ,  $I = (a, b)$ , 则解函数  $u(x) \in C^2(\bar{I})$ , 且满足

$$\|u''\|_0 \leq C\|f\|_0 \quad (30)$$

证明: 关于  $u(x) \in C^2(\bar{I})$  可见常微理论, 下面证明 (30)。

$$a(u, v) = (f, v), \quad \forall v \in H_E^1$$

$\Rightarrow$

$$\begin{aligned} \|u\|_1^2 &\leq \gamma^{-1} a(u, u) = \gamma^{-1} (f, u) \\ &\leq \gamma^{-1} \|u\|_0 \|f\|_0 \leq \gamma^{-1} \|u\|_1 \|f\|_0 \end{aligned}$$

$\Rightarrow$

$$\|u\|_1 \leq \gamma^{-1} \|f\|_0$$

因为函数  $u(x)$  满足 (19), 即

$$-p(x)u''(x) = p'(x)u'(x) - q(x)u(x) + f(x)$$

$\Rightarrow$

$$\|u''\|_0 \leq C[\|f\|_0 + \|u\|_1] \leq C_2 \|f\|_0$$

利用 **Nitsche (尼采)技巧 (对偶论证法)**, 给出  $\|u - u_h\|_0$  的估计.  
引入辅助函数  $w(x)$ , 满足

$$a(v, w) = (u - u_h, v), \forall v \in H_E^1$$

特取  $v = u - u_h$ , 并利用正交投影性质 (20), 有

$$\|u - u_h\|_0^2 = (u - u_h, u - u_h) = a(u - u_h, w) = a(u - u_h, w - w_I)$$

进一步, 利用双线性泛函的有界性, (26), (7) 和 (30), 可得

$$\begin{aligned}\|u - u_h\|_0^2 &\leq M \|w - w_I\|_1 \cdot \|u - u_h\|_1 \leq O(h^2 \|w''\|_0 \cdot \|u''\|_0) \\ &\leq O(h^2 \|u - u_h\|_0 \cdot \|f\|_0)\end{aligned}$$

将上式两边同时除以  $\|u - u_h\|_0$  可得

$$\|u - u_h\|_0 \leq O(h^2 \|f\|_0)$$



**习题 3** 设  $u \in C^2(\bar{I})$ , 试证明  $u_h$  一致收敛到  $u$  且收敛阶为  $O(h)$  (即给出  $\|\cdot\|_\infty$  下的线性有限元函数的误差估计).

## 线性元稳定性 I

令  $A := K$ , 则线性有限元方程组 (12) 可改写为

$$AU = b.$$

下面考察: 当系数矩阵  $A$  和右端向量  $b$  发生扰动 (设扰动量分别为  $\Delta A$  和  $\Delta b$ ) 时, 对解向量  $U$  带来的扰动 (设扰动量为  $\Delta U$ ).

假设  $\mu = \|A^{-1}\Delta A\| < 1$ , 则有

$$\frac{\|\Delta U\|}{\|U\|} \leq \frac{\text{cond}(A)}{1 - \mu} \left( \frac{\|\Delta A\|}{\|A\|} + \frac{\|\Delta b\|}{\|b\|} \right) \quad (31)$$

其中,  $\text{cond}(A) = \|A\| \cdot \|A^{-1}\|$  是  $A$  的条件数.

## 线性元稳定性 II

事实上, 由

$$\begin{cases} Au = b \\ (A + \Delta A)(U + \Delta U) = b + \Delta b \end{cases}$$

$\Rightarrow$

$$\Delta AU + (A + \Delta A)\Delta U = \Delta b$$

$\Rightarrow$

$$\Delta U = (I + A^{-1}\Delta A)^{-1}A^{-1}(-\Delta A \cdot U + \Delta b)$$

$\Rightarrow$

$$\frac{\|\Delta U\|}{\|U\|} \leq \left\| (I + A^{-1}\Delta A)^{-1} \right\| \cdot \|A^{-1}\| (\|\Delta A\| + \frac{\|\Delta b\|}{\|U\|}) \quad (32)$$

## 线性元稳定性 III

注意  $\frac{1}{\|U\|} \leq \frac{\|A\|}{\|b\|}$ , 将该式代入(32), 可得

$$\frac{\|\Delta U\|}{\|U\|} \leq \left\| (I + A^{-1} \Delta A)^{-1} \right\| \cdot \|A^{-1}\| \|A\| \left( \frac{\|\Delta A\|}{\|A\|} + \frac{\|\Delta b\|}{\|b\|} \right)$$

由此, 并利用

**结论 1** 设  $\|F\| < 1$ , 则矩阵  $I + F$  可逆, 且有

$$\left\| (I + F)^{-1} \right\| \leq \frac{1}{1 - \|F\|}.$$

可得 (31). ■

## 线性元稳定性 IV

关于结论 1 的证明: 首先用反证法证明矩阵  $I + F$  的非奇异性。事实上, 若存在向量  $x \neq 0$ , 使  $(I + F)x = 0$ , 则有

$$\|F\| = \max_{x \neq 0} \frac{\|Fx\|}{\|x\|} \geq 1$$

这与题设  $\|F\| < 1$  相矛盾.

令  $G = (I + F)^{-1}$ , 并在该式两边同乘  $I + F$ , 有

$$\|G\| \leq 1 + \|G\| \cdot \|F\|$$

从而有

$$\|G\| \leq \frac{1}{1 - \|F\|}$$



## 线性元稳定性 V

由 (31) 知: 解向量的扰动与有限元总刚度矩阵  $A$  的条件数  $\text{cond}(A)$  的大小有关, 下面给出  $A$  的条件数估计式.

注意  $A$  对称正定, 所以可取  $\|\cdot\| = \|\cdot\|_2$ , 这时  $A$  的谱条件数

$$\text{cond}_2(A) := \|A\|_2 \cdot \|A^{-1}\|_2 = \frac{\lambda_{\max}}{\lambda_{\min}} \quad (33)$$

其中  $0 < \lambda_{\min} \leq \lambda_{\max}$  分别为  $A$  的最小和最大特征值.

下面给出 (33) 的证明.

事实上, 由  $A$  的对称正定性可知其存在  $n$  个正特征值

$$0 < \lambda_1 < \cdots < \lambda_n,$$

## 线性元稳定性 VI

且  $\lambda_{\max} = \lambda_n$ ,  $\lambda_{\min} = \lambda_1$ . 设  $\lambda_i (i = 0, \dots, n)$  对应的特征向量为

$$\vec{\beta}_i \in \mathbb{R}^{n+1}, \quad i = 0, \dots, n,$$

易知,  $\{\vec{\beta}_0, \dots, \vec{\beta}_n\}$  构成  $\mathbb{R}^n$  的一组标准正交基, 即

$$(\vec{\beta}_i, \vec{\beta}_j) = \delta_{ij}, \quad i, j = 0, \dots, n. \quad (34)$$

对  $\forall \vec{\alpha} \in \mathbb{R}^{n+1}$ , 有

$$\vec{\alpha} = \sum_{i=0}^n c_i \vec{\beta}_i. \quad (35)$$

## 线性元稳定性 VII

由 (35) 和 (34) 可知

$$\begin{aligned}\|A\vec{\alpha}\|_2^2 &= \left\| \sum_i c_i A\vec{\beta}_i \right\|_2^2 \\ &= \left\| \sum_i c_i \lambda_i \vec{\beta}_i \right\|_2^2 \\ &= \left( \sum_i c_i \lambda_i \vec{\beta}_i, \sum_i c_i \lambda_i \vec{\beta}_i \right) \\ &= \sum_i c_i^2 \lambda_i^2,\end{aligned}\tag{36}$$

类似可得

$$\|\vec{\alpha}\|_2^2 = (\vec{\alpha}, \vec{\alpha}) = \sum_i c_i^2.\tag{37}$$

## 线性元稳定性 VIII

注意

$$\|A\|_2 := \sup_{\vec{\alpha} \in \mathbb{R}^N} \frac{\|A\vec{\alpha}\|_2}{\|\vec{\alpha}\|_2}, \quad (38)$$

这里  $\|\vec{\alpha}\|_2 := \sqrt{(\vec{\alpha}, \vec{\alpha})_{\mathbb{R}^N}}$ .

将 (36) 和 (37) 代入 (38), 有

$$\|A\|_2^2 = \sup_{\vec{\alpha} \in \mathbb{R}^n} \frac{\sum_i c_i^2 \lambda_i^2}{\sum_i c_i^2} \leq \lambda_{\max}^2(A), \quad (39)$$

又注意: 若特取  $\vec{\alpha} = \vec{\beta}_n$ , 则上式成为等式, 因此有

$$\|A\|_2^2 = \lambda_{\max}^2(A). \quad (40)$$

## 线性元稳定性 IX

同理由

$$\|A^{-1}\|_2^2 = \sup_{\vec{\alpha} \in \mathbb{R}^{n+1}} \frac{\sum_i c_i^2 \lambda_i^{-2}}{\sum_i c_i^2} \leq \lambda_{\min}^{-2}(A), \quad (41)$$

且特取  $\vec{\alpha} = \vec{\beta}_1$ , 上式成为等式, 因此有

$$\|A^{-1}\|_2^2 = \lambda_{\min}^{-2}(A). \quad (42)$$

将 (40) 和 (42) 代入  $\text{cond}_2(A)$  的定义式, 即证得 (33). ■

进一步可证得

$$\lambda_{\max} = \max_{\substack{\vec{\alpha} \in \mathbb{R}^n \\ \vec{\alpha} \neq 0}} R(\vec{\alpha}), \quad \lambda_{\min} = \min_{\substack{\vec{\alpha} \in \mathbb{R}^n \\ \vec{\alpha} \neq 0}} R(\vec{\alpha}) \quad (43)$$

## 线性元稳定性 X

其中

$$R(\vec{\alpha}) := \frac{(A\vec{\alpha}, \vec{\alpha})}{(\vec{\alpha}, \vec{\alpha})}$$

为矩阵  $A$  关于向量  $\vec{\alpha}$  的雷利 (Rayleigh) 商.

下面给出 (43) 的证明.

事实上, 类似于 (36) 的证明, 利用 (35), (34) 和 (37), 有

$$\frac{(A\vec{\alpha}, \vec{\alpha})}{(\vec{\alpha}, \vec{\alpha})} = \frac{(\sum_i c_i \lambda_i \vec{\beta}_i, \sum_i c_i \vec{\beta}_i)}{\sum_i c_i^2} = \frac{\sum_{i=1}^n \lambda_i c_i^2}{\sum_i c_i^2}.$$

由此可得

$$\max_{\substack{\vec{\alpha} \in R^n \\ \vec{\alpha} \neq 0}} R(\vec{\alpha}) \leq \lambda_{\max},$$

## 线性元稳定性 XI

又注意: 若特取  $\vec{\alpha} = \vec{\beta}_n$ , 则上式成为等式, 因此 (43) 的第一个等式成立. 类似可证明(43) 的第二个等式亦成立. ■

对  $\forall \vec{\alpha} \in \mathbb{R}^{n+1}$ , 令线性有限元函数

$$u_h = \sum_{i=1}^n \alpha_i \phi_i, \quad (44)$$

则有

$$(A\vec{\alpha}, \vec{\alpha}) = a(u_h, u_h). \quad (45)$$

## 线性元稳定性 XII

事实上,

$$\begin{aligned} A\vec{\alpha} &= \left( \sum_{j=1}^n a_{1,j} \alpha_j, \sum_{j=1}^n a_{2,j} \alpha_j, \cdots, \sum_{j=1}^n a_{n,j} \alpha_j \right)^T \\ &= \left( \sum_{j=1}^n a(\phi_1, \phi_j) \alpha_j, \cdots, \sum_{j=1}^n a(\phi_n, \phi_j) \alpha_j \right)^T \\ &= \left( a(\phi_1, \sum_{j=1}^n \alpha_j \phi_j), \cdots, a(\phi_n, \sum_{j=1}^n \alpha_j \phi_j) \right)^T \\ &= \left( a(\phi_1, u_h), \cdots, a(\phi_n, u_h) \right)^T, \end{aligned}$$

因此

$$(A\vec{\alpha}, \vec{\alpha}) = \sum_{i=1}^n \alpha_i a(\phi_i, u_h) = a\left(\sum_{i=1}^n \alpha_i \phi_i, u_h\right) = a(u_h, u_h).$$



## 线性元稳定性 XIII



利用 (45) 和  $a(\cdot, \cdot)$  的强制性条件, 显然有

$$\gamma \|u_h\|_1^2 \leq (A\vec{\alpha}, \vec{\alpha}) \leq M \|u_h\|_1^2. \quad (46)$$

下面在等距网格剖分下, 证明有限元函数的两个重要估计式.

首先证明: 对  $\forall \vec{\alpha} := (u_1, \dots, u_n)^T \in \mathbb{R}^n$ , 有 (令  $u_0 = 0$ )

$$\|u_h\|_0^2 \cong h \|\vec{\alpha}\|_{\mathbb{R}^n}^2, \quad (47)$$

其中, 线性有限元函数  $u_h$  由 (44) 定义.

## 线性元稳定性 XIV

事实上, 由  $\|\cdot\|_0$  范数的定义有

$$\begin{aligned}\|u_h\|_0^2 &= \int_a^b u_h^2 dx \\ &= \sum_{i=1}^n \int_{I_i} [u_{i-1}N_0(\xi) + u_iN_1(\xi)]^2 dx \quad (\xi = \frac{x - x_{i-1}}{h}) \\ &= \sum_{i=1}^n h_i \int_0^1 [u_{i-1}(1 - \xi) + u_i\xi]^2 d\xi,\end{aligned}\tag{48}$$

## 线性元稳定性 XV

其中

$$\begin{aligned}\int_0^1 [u_{i-1}(1-\xi) + u_i\xi]^2 d\xi &= \int_0^1 u_{i-1}^2(1-\xi)^2 + 2u_{i-1}u_i\xi(1-\xi) + u_i^2\xi^2 d\xi \\ &= \frac{1}{3}(u_{i-1}^2 + u_{i-1}u_i + u_i^2),\end{aligned}\quad (49)$$

利用不等式  $-\frac{a^2+b^2}{2} \leq ab \leq \frac{a^2+b^2}{2}$ , 有

$$\frac{u_{i-1}^2 + u_i^2}{2} \leq u_{i-1}^2 + u_{i-1}u_i + u_i^2 \leq \frac{3}{2}(u_{i-1}^2 + u_i^2),$$

将上式和 (49) 代入 (48) 中有

$$\frac{h}{6} \sum_{i=1}^n u_i^2 \leq \|u_h\|_0^2 \leq h \left( \sum_{i=0}^{n-1} \frac{u_i^2}{2} + \sum_{i=0}^n \frac{u_i^2}{2} \right),$$

## 线性元稳定性 XVI

由于  $\|\vec{u}\|_{\mathbb{R}^n}^2 = \sum_{i=0}^n u_i^2$ , 则有

$$\frac{h}{6} \|u_h\|_{\mathbb{R}^{n+1}}^2 \leq \|u_h\|_0^2 \leq h \|u_h\|_{\mathbb{R}^{n+1}}^2,$$

这就证明了

$$\|u_h\|_0^2 \cong h \|\vec{u}\|_{\mathbb{R}^{n+1}}^2.$$



接着证明有限元的反估计式:

$$\|u_h\|_1^2 \lesssim h^{-2} \|u_h\|_0^2. \quad (50)$$

## 线性元稳定性 XVII

事实上, 由  $\|\cdot\|_1$  范数的定义可知

$$\|u_h\|_1^2 = \|u_h\|_0^2 + |u_h|_1^2,$$

注意  $h < 1$ , 因此 (50) 等价于证明

$$|u_h|_1^2 \lesssim h^{-2} \|u_h\|_0^2,$$

## 线性元稳定性 XVIII

而

$$\begin{aligned}
|u_h|_1^2 &= \sum_{i=1}^n \int_{I_i} [u_{i-1} N'_0(\xi) + u_i N'_1(\xi)]^2 dx \quad \left(\xi = \frac{x - x_{i-1}}{h_i}\right) \\
&= \sum_{i=1}^n \int_{I_i} \left[ u_{i-1} \frac{\partial N_0}{\partial \xi} \frac{\partial \xi}{\partial x} + u_i \frac{\partial N_1}{\partial \xi} \frac{\partial \xi}{\partial x} \right]^2 dx \\
&= \sum_{i=1}^n h_i \int_0^1 h_i^{-2} (u_i - u_{i-1})^2 d\xi \\
&= \sum_{i=1}^n h_i^{-1} (u_i^2 + u_{i-1}^2 - 2u_{i-1}u_i) \\
&\lesssim h^{-1} \sum_{i=1}^n (u_i^2 + u_{i-1}^2) \lesssim h^{-1} \|u_h\|_{\mathbb{R}^n}^2
\end{aligned}$$

将 (47) 代入上式可知

$$|u_h|_1^2 \lesssim h^{-2} \|u\|_0^2,$$

至此就证明了 (50).



有了上述准备就可给出  $A$  的谱条件数估计.